

การประเมินอายุกระดูกจากกระดูกคอในคนไทย



นางพรทิพย์ ชิวรัตน์

วิทยานิพนธ์นี้เป็นส่วนหนึ่งของการศึกษาตามหลักสูตรปริญญาทันตแพทยศาสตรมหาบัณฑิต

ภาควิชาทันตกรรมจัดฟัน

บัณฑิตวิทยาลัย จุฬาลงกรณ์มหาวิทยาลัย

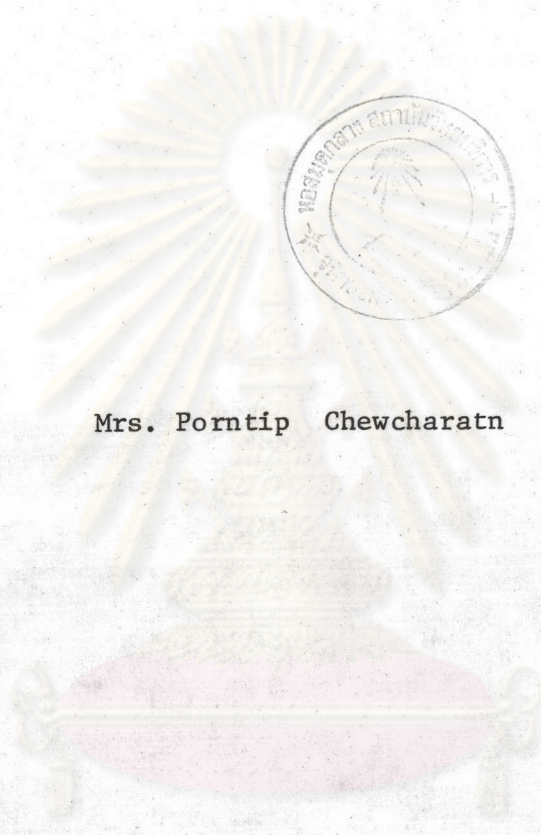
พ.ศ. 2528

ISBN 974-564-492-7

009064

I 16599603

Skeletal Age Assessment from Cervical Vertebrae in Thai



Mrs. Porntip Chewcharatn

ศูนย์วิทยทรัพยากร
A Thesis Submitted in Partial Fulfillment of the Requirements
for the Degree of Master of Dental Science

Department of Orthodontics

Graduate School

Chulalongkorn University

1985

หัวข้อวิทยานิพนธ์	การประเมินอายุกระดูกจากกระดูกอ่อนในคนไทย
โดย	นางพรทิพย์ ชิวขรัตน์
ภาควิชา	ทันตกรรมจัดฟัน
อาจารย์ที่ปรึกษา	รองศาสตราจารย์ทันตแพทย์ วัฒนะ มรรุราสัย
อาจารย์ที่ปรึกษาร่วม	อาจารย์ทันตแพทย์หญิง ส้มรตรี วิถีพร



บัณฑิตวิทยาลัย จุฬาลงกรณ์มหาวิทยาลัย อนุมัติให้บัณฑิตวิทยาลัยฉบับนี้เป็นส่วนหนึ่ง
ของการศึกษาตามหลักสูตรปริญญามหาบัณฑิต

สุพรรณิภา มุขมา
.....คณบดีบัณฑิตวิทยาลัย
(รองศาสตราจารย์ ดร. สุพรรณิภา มุขมา)

คณะกรรมการสอบวิทยานิพนธ์ :

ดร. อรุณรัตน์
.....ประธานกรรมการ
(ผู้ช่วยศาสตราจารย์ทันตแพทย์หญิง พรรณี สุ่มล่วลัดดี)

ดร. วัฒนะ
.....กรรมการ
(รองศาสตราจารย์ทันตแพทย์ วัฒนะ มรรุราสัย)

ดร. อนงค์นาฏ
.....กรรมการ
(ผู้ช่วยศาสตราจารย์ทันตแพทย์หญิง อนงค์นาฏ รักดีณรงค์)

ดร. อรุณ
.....กรรมการ
(อาจารย์ ดร. อรุณ จันทร์วาณิช)

ดร. วิถีพร
.....กรรมการ
(อาจารย์ทันตแพทย์หญิง ส้มรตรี วิถีพร)

ลิขสิทธิ์ของบัณฑิตวิทยาลัย จุฬาลงกรณ์มหาวิทยาลัย

หัวข้อวิทยานิพนธ์	การประเมินอายุกระดูกจากกระดูกคอในคนไทย
ชื่อผู้ผลิต	นางพรทิพย์ ฮิวชรัตน์
อาจารย์ที่ปรึกษา	รองศาสตราจารย์ทันตแพทย์ วัฒนะ มจรุาสัย
อาจารย์ที่ปรึกษาร่วม	อาจารย์ทันตแพทย์หญิง ลมรตรี วิถีพร
ภาควิชา	ทันตกรรมจัดฟัน
ปีการศึกษา	2527



บทคัดย่อ

วัตถุประสงค์ของการวิจัยครั้งนี้ เพื่อพิจารณา การเปลี่ยนแปลงรูปร่างลักษณะของ กระดูกคอระหว่างอายุ 8-16 ปี รวมทั้งศึกษาความสัมพันธ์และเปรียบเทียบความแตกต่างของการประเมินอายุกระดูกจากกระดูกคอและกระดูกมือ

กลุ่มตัวอย่างแบ่ง เป็น 2 กลุ่ม กลุ่มที่หนึ่ง ใช้ศึกษาการเจริญเติบโตของกระดูกคอประกอบด้วยชาย 172 คน และหญิง 170 คน มีอายุกระดูกเท่ากับหรือแตกต่างจากค่ามาตรฐานไม่เกิน 12 เดือน จัดเรียงภาพถ่ายรังสีเอกซ์ด้านข้างของกะโหลกศีรษะตามลำดับการเจริญเติบโตของกระดูกคอก่อนน้อยไปหามาก ภาพที่มีตำแหน่งกึ่งกลางของแต่ละชุด ใช้เป็นภาพตัวแทนของกระดูกคอในการศึกษาการเจริญเติบโต ร่วมกับวิธีหาขนาดและรูปร่าง โดยเฉลี่ยของกระดูกคอแต่ละชั้น ด้วยวิธีซ้อนภาพวาดกระดูกคอแต่ละชั้นในแต่ละรายอายุ กลุ่มที่สองใช้ศึกษาความสัมพันธ์และเปรียบเทียบความแตกต่างระหว่างอายุกระดูกที่ประเมินจากกระดูกคอและกระดูกมือ ประกอบด้วยชาย 50 คน หญิง 50 คน ที่ได้จากภาควิชาทันตกรรมจัดฟัน คณะทันตแพทย์ศาสตร์ จุฬาลงกรณ์มหาวิทยาลัย นำภาพถ่ายรังสีเอกซ์ด้านข้างของกะโหลกศีรษะและกระดูกมือมา เปรียบเทียบกับภาพมาตรฐานตัวแทนกระดูกคอและภาพมาตรฐานกระดูกมือตามลำดับ เพื่อกำหนดอายุกระดูกของแต่ละคน

ผลของการวิจัยสรุปได้ดังนี้:

1. กระดูกคอชั้นที่ 2,3 และ 4 ของเพศหญิงและเพศชายอายุระหว่าง 8-16 ปี มีรูปแบบการเจริญเติบโตคล้ายคลึงกัน แต่การเจริญเติบโตของกระดูกคอแต่ละชั้นของเพศหญิงเร็วกว่าเพศชาย

กระดูกคอชั้นที่ 2 มีการเปลี่ยนแปลงบริเวณขปล่าง จากผิวเรียบตรงเป็นผิวโค้ง
เว้าเมื่ออายุ 8 ปีในหญิง และ 9 ปีในชาย มุมของขปล่างทางด้านหน้าจะมนกลมเมื่ออายุ 12 ปี
ในหญิง และ 13 ปีในชาย ขอบด้านหน้าจะโค้งนูนเมื่ออายุ 15 ปีในหญิง และ 14 ปีในชาย ขณะ
เดียวกันมุมของขปล่างทางด้านหลังค่อย ๆ ย้อยลงเมื่ออายุ 15-16 ปีของทั้งสองเพศ

กระดูกคอชั้นที่ 3 และ 4 มีการเปลี่ยนแปลงจากรูปสี่เหลี่ยมคางหมู รูป
สี่เหลี่ยมผืนผ้า และรูปสี่เหลี่ยมจัตุรัสตามลำดับ ขปล่างของกระดูกคอชั้นที่ 3 จะเว้าเมื่ออายุ 10 ปี
ในหญิง และ 11 ปีในชาย เช่นเดียวกับกระดูกคอชั้นที่ 4 จะเริ่มเว้าเมื่ออายุ 11 ปีในหญิง และ
12 ปีในชาย มุมของขอบบนทางด้านหน้าของกระดูกคอทั้ง 2 ชั้นจะเริ่มเป็นมุมฉากเมื่ออายุ 9 ปีใน
หญิง และ 10 ปีในชาย มุมของขอบบนทางด้านหลังเจริญสูงขึ้นเมื่ออายุ 15-16 ปีของทั้งสองเพศ

จากการสังเกตพบว่า ช่องว่างทางด้านหน้าระหว่างชั้นของกระดูกคอจะแคบลงเรื่อย ๆ
ขณะที่การเปลี่ยนแปลงบริเวณช่องว่างทางด้านหลังไม่ชัดเจน

2. อายุกระดูกที่ประเมินจากระดูกคอและกระดูกมือมีความสัมพันธ์ค่อนข้างสูง
3. อายุกระดูกที่ประเมินจากระดูกคอและกระดูกมือไม่มีความแตกต่างอย่างมีนัยสำคัญ .

ศูนย์วิทยทรัพยากร
จุฬาลงกรณ์มหาวิทยาลัย

๗

the skeletal age obtained from the cervical vertebrae and hand wrist bones, were 50 males and 50 females from Orthodontic department, School of Dentistry, Chulalongkorn university. The skeletal ages were assessed by comparing the lateral cephalometric film and hand wrist film with the corresponding standards.

Result

1. During the age of 8-16, the 2nd, 3rd and 4th cervical vertebrae of female and male had the similar growth pattern but the maturational changes of each vertebra in female was more accelerative than in male.

In the 2nd cervical vertebra, the inferior border changed from flat surface to concave surface at the age of 8 in female and 9 in male. The infero-anterior corner became rounded at the age of 12 in female and 13 in male. The anterior border became convex at the age of 15 in female and 14 in male while infero-posterior corner descended gradually at the age of 15-16 in both sexes.

The 3rd and 4th cervical vertebrae altered from wedge shape to trapezium, rectangular and square shape, respectively. Inferior border of the 3rd cervical vertebra became concave at the age of 10 in female and 11 in male, consecutively, the 4th cervical vertebra at the age of 11 in female and 12 in male. The supero-anterior corner of these cervical vertebrae became right angle at the age of 9 in female and 10 in male. The supero-posterior corner ascended gradually at the age of 15-16 in both sexes.

From observation, the intervertebral spaces at the anterior region was narrower, meanwhile the alteration at the posterior region was unobviously.

2. There was high correlation between the skeletal ages assessed from the cervical vertebrae and hand wrist bones.

3. There was no significant difference between the skeletal ages assessed from the cervical vertebrae and hand wrist bones.



ศูนย์วิทยพัชกร
จุฬาลงกรณ์มหาวิทยาลัย



กิตติกรรมประกาศ

วิทยานิพนธ์ฉบับนี้สำเร็จลงได้ด้วยความช่วยเหลือทางด้านวิชาการจากรองศาสตราจารย์
ทันตแพทย์ วัฒนะ มธุราลัย อาจารย์ทันตแพทย์หญิง ส้มรตรี วิธิพร อาจารย์ ดร. อารุง
สันทวานิช และทันตแพทย์ ไพฑูรย์ จินดาโรจนกุล ผู้วิจัยขอขอบพระคุณไว้ ณ ที่นี้ด้วย

ในการรวบรวมข้อมูล ผู้วิจัยขอขอบคุณองค์การ Japan International Co-operation Agency (JICA) ที่ได้มอบเครื่องถ่ายภาพรังสีและเครื่องมือล้างฟิล์มแบบอัตโนมัติแก่ภาควิชา
ทันตกรรมจัดฟัน คณะทันตแพทยศาสตร์ จุฬาลงกรณ์มหาวิทยาลัย เพื่อใช้ในการวิจัย ตลอดจน
อาสาสมัครที่ใช้เป็นกลุ่มตัวอย่างจากความร่วมมือของโรงเรียนต่าง ๆ และผู้ช่วยที่มารับการบำบัด
รักษาทางทันตกรรมจัดฟัน คณะทันตแพทยศาสตร์ จุฬาลงกรณ์มหาวิทยาลัย รวมทั้งความช่วยเหลือ
ทางด้านคอมพิวเตอร์จากนางสาววิไลลักษณ์ สัตยาบรรพต และความช่วยเหลือในด้านการพิมพ์
วิทยานิพนธ์นี้ให้สำเร็จลุล่วงด้วยดีจากนางสาวสุภัทรา โตรณะเกษม

ขอขอบพระคุณบัณฑิตวิทยาลัย จุฬาลงกรณ์มหาวิทยาลัย ที่ให้การสนับสนุนด้านการเงินบางส่วน
และขอกราบขอบพระคุณคณะกรรมการทุกท่านที่ให้คำแนะนำและแก้ไขวิทยานิพนธ์

ประโยชน์ที่ได้รับจากการวิจัยครั้งนี้ ผู้วิจัยขอมอบให้แก่ผู้มีพระคุณทุกท่าน.

พรทิพย์ ฮิวชรัตน์

ศูนย์วิทยุโทรพัชการ
จุฬาลงกรณ์มหาวิทยาลัย



สารบัญ

	หน้า
บทคัดย่อภาษาไทย	ง
บทคัดย่อภาษาอังกฤษ	ฉ
กิตติกรรมประกาศ	ฅ
รายการตารางประกอบ	ญ
รายการรูปประกอบ	ฉ
บทที่	
1 บทนำ	1
ความเป็นมาและความสำคัญของปัญหา	1
วัตถุประสงค์การวิจัย	3
สมมุติฐานของการวิจัย	3
ประโยชน์ของการวิจัย	3
ขอบเขตของการวิจัย	4
ข้อตกลงเบื้องต้น	4
ความไม่สมบูรณ์ของการวิจัย	5
คำจำกัดความ	5
2 บรรณคดีที่เกี่ยวข้อง	15
อายุกระดูก	15
สิ่งที่ใช้ประเมินอายุกระดูก	22
กระดูกคอ	49
3 วิธีดำเนินการวิจัย	57
ประชากร	57
กลุ่มตัวอย่าง	57

บทที่	หน้า
การรวบรวมข้อมูล	60
การบันทึกข้อมูล	61
วิธีการวัดข้อมูล	62
ตัวแปรของการวิจัย	63
4 ผลการวิเคราะห์ข้อมูล	65
5 สรุปผลการวิจัยและข้อเสนอแนะ	82
สรุปผลการวิจัย	83
อภิปรายผลการวิจัย	84
ข้อเสนอแนะ	86
เอกสารอ้างอิง	88
ภาคผนวก	93
ประวัติผู้เขียน	95

ศูนย์วิทยทรัพยากร
จุฬาลงกรณ์มหาวิทยาลัย

รายการตารางประกอบ

ตารางที่		หน้า
1	แสดงถึงอายุเฉลี่ยของการเกิดกระดูกมือและข้อมือชั้นต่าง ๆ (Greulich, Waterhouse และ Pyle ⁽³³⁾)	24
2	แสดงการเริ่มปรากฏของกระดูก Adductor sesamoid และพัฒนาการ ของข้อต่อของนิ้วหัวแม่มือ (Chapman ⁽³⁵⁾)	27
3	แสดงการพอกของกระดูกชั้นต่าง ๆ ของกระดูกมือและกระดูกเท้า เมื่อมีความสูงของร่างกายเฉลี่ยต่าง ๆ กัน (Kjar ⁽³⁸⁾)	34
4	แสดงพัฒนาการของกระดูกมือและ Lower epiphyses ของกระดูก Radius และ Ulna (Rotch ⁽³⁹⁾)	35
5	แสดงสัญลักษณ์ของกระดูกมือและข้อมือ 14 ชั้น (Grave และ Brown ⁽³⁰⁾) ..	44
6	แสดงอายุเฉลี่ยที่ร่างกายมีการพอกของกระดูกมือและข้อมือแต่ละชั้นใน เด็กชายหญิงพื้นเมืองของประเทศออสเตรเลีย (Grave และ Brown ⁽³⁰⁾) ..	45
7	แสดงช่วงอายุที่ร่างกายเจริญเติบโตเข้าสู่วัยหนุ่มสาว และช่วงอายุที่มีการ เจริญเติบโตเต็มที่ของกระดูกมือชั้นต่าง ๆ ในเพศหญิงและเพศชาย " (Hagg และ Taranger ⁽⁴⁰⁾)	48
8	แสดงอายุกระดูก (เดือน) ที่ประเมินจากกระดูกคอและกระดูกมือของกลุ่ม ตัวอย่างชาย 50 คน	80
9	แสดงอายุกระดูก (เดือน) ที่ประเมินจากกระดูกคอและกระดูกมือของกลุ่ม ตัวอย่างหญิง 50 คน	81

รายการรูปประกอบ

รูปที่		หน้า
1	แผนภาพของ กระดูกมือและข้อมือซ้าย	6
2	ลักษณะกระดูกคอชั้นที่ 2,3 และ 4 (ลูกศรชี้) ที่ใช้ศึกษาในภาพถ่ายรังสีเอกซ์ ด้านข้างของกะโหลกศีรษะ	9
3	แผนภาพของ กระดูกคอชั้นที่ 1 (Bailey ⁽⁶⁾)	10
4	แผนภาพของ กระดูกคอชั้นที่ 2 (Bailey ⁽⁶⁾)	12
5	แผนภาพของ กระดูกคอชั้นที่ 3 ถึงชั้นที่ 7 (Bailey ⁽⁶⁾)	13
6	กราฟแสดง การ เจริญเติบโตอย่างรวดเร็วในวัยหนุ่มสาว " (Hagg และ Taranger ⁽⁹⁾)	16
7	กราฟแสดง ความสัมพันธ์ระหว่างอายุกระดูกและอายุปฏิทิน (Hansman และ Maresch ⁽²⁸⁾)	21
8	ลักษณะและคะแนนการ เจริญเติบโตเต็มที่ของ กระดูกหัวเข่าซ้าย (Acheson ⁽³⁶⁾)	29
9	ลักษณะและคะแนนการ เจริญเติบโตเต็มที่ของ กระดูกมือซ้าย (Greulich และ Pyle ⁽²¹⁾)	30
10	กราฟแสดง การ เจริญเติบโตเต็มที่ของ กระดูกมือซ้ายของ เด็กชายและเด็กหญิง (Acheson ⁽³⁶⁾)	31
11	กราฟแสดง การ เจริญเติบโตเต็มที่ของ กระดูกหัวเข่าซ้ายของ เด็กชายและ เด็กหญิง (Acheson ⁽³⁶⁾)	32
12	สัญลักษณ์และลักษณะของ กระดูกมือและกระดูกเท้าของทารก (Kjar ⁽³⁸⁾)	33
13	ภาพกระดูกมือกลุ่ม B, C (Rotch ⁽³⁹⁾)	36
14	ภาพกระดูกมือกลุ่ม D (Rotch ⁽³⁹⁾)	37
15	ภาพกระดูกมือกลุ่ม E (Rotch ⁽³⁹⁾)	38

รายการรูปประกอบ (ต่อ)

รูปที่		หน้า
16	ภาพกระดูกมือกลุ่ม F (Rotch ⁽³⁹⁾)	39
17	ภาพกระดูกมือกลุ่ม G (Rotch ⁽³⁹⁾)	40
18	ภาพกระดูกมือกลุ่ม J (Rotch ⁽³⁹⁾)	41
19	ภาพกระดูกมือกลุ่ม L (Rotch ⁽³⁹⁾)	42
20	ลักษณะของกระดูกมือและข้อมือ 14 ลักษณะ (Grave และ Brown ⁽³⁰⁾) ...	43
21	ลักษณะของกระดูก Ulna sesamoid (S) ตรงข้อต่อนิ้วหัวแม่มือก่อนและหลัง การพอกของกระดูก (Hagg และ Taranger ⁽⁴⁰⁾)	46
22	ลักษณะของกระดูกปลายนิ้วกลาง (DP3) ก่อนและหลังการเชื่อมของ Epiphysis และ Metaphysis (I) (Hagg และ Taranger ⁽⁴⁰⁾)	46
23	ลักษณะของกระดูกข้อที่ 2 ของนิ้วกลาง (MP3) ระยะต่าง ๆ " (Hagg และ Taranger ⁽⁴⁰⁾)	46
24	ลักษณะของกระดูกแขนส่วนปลาย (Distal epiphysis) ระยะต่าง ๆ " (Hagg และ Taranger ⁽⁴⁰⁾)	47
25	ภาพด้านข้างของตัวแกนกระดูกคอที่มีลักษณะ Wedge shape	50
26	ภาพด้านข้างของตัวแกนกระดูกคอที่มีลักษณะคล้ายสี่เหลี่ยม	51
27	ภาพขนาดด้านข้างของ Cervical spinal canal ของกระดูกคอชั้นที่ 2 ถึงชั้นที่ 7 (Hinch และคณะ ⁽²⁾)	51
28	แผนภาพด้านข้างของกระดูกคอในอายุต่าง ๆ ของเพศชาย (Lamparski ⁽⁷⁾)	54
29	แผนภาพด้านข้างของกระดูกคอในอายุต่าง ๆ ของเพศหญิง (Lamparski ⁽⁷⁾)	55
30	ภาพแสดงแกนอ้างอิง x และ y ของกระดูกคอชั้นที่ 2	62
31	ภาพแสดงแกนอ้างอิง x และ y ของกระดูกคอชั้นที่ 3 และ 4	62

รายการรูปประกอบ (ต่อ)

รูปที่		หน้า
32	ภาพวาดรูปร่างลักษณะโดยเฉลี่ยของกระดูกคอชั้นที่ 2,3 และ 4 ซึ่งได้จากการ ชันภาพของกระดูกคอในเพศชาย อายุ 8-16 ปี	66
33	ภาพวาดรูปร่างลักษณะโดยเฉลี่ยของกระดูกคอชั้นที่ 2,3 และ 4 ซึ่งได้จากการ ชันภาพของกระดูกคอในเพศหญิง อายุ 8-16 ปี	67
34	ตัวแทนภาพถ่ายรังสีเอกซ์ด้านข้างของกระดูกคอในเพศชายอายุ 8 ปี	69
35	ตัวแทนภาพถ่ายรังสีเอกซ์ด้านข้างของกระดูกคอในเพศชายอายุ 9 ปี	69
36	ตัวแทนภาพถ่ายรังสีเอกซ์ด้านข้างของกระดูกคอในเพศชายอายุ 10 ปี.....	70
37	ตัวแทนภาพถ่ายรังสีเอกซ์ด้านข้างของกระดูกคอในเพศชายอายุ 11 ปี.....	70
38	ตัวแทนภาพถ่ายรังสีเอกซ์ด้านข้างของกระดูกคอในเพศชายอายุ 12 ปี.....	71
39	ตัวแทนภาพถ่ายรังสีเอกซ์ด้านข้างของกระดูกคอในเพศชายอายุ 13 ปี.....	71
40	ตัวแทนภาพถ่ายรังสีเอกซ์ด้านข้างของกระดูกคอในเพศชายอายุ 14 ปี	72
41	ตัวแทนภาพถ่ายรังสีเอกซ์ด้านข้างของกระดูกคอในเพศชายอายุ 15 ปี	72
42	ตัวแทนภาพถ่ายรังสีเอกซ์ด้านข้างของกระดูกคอในเพศชายอายุ 16 ปี	73
43	ตัวแทนภาพถ่ายรังสีเอกซ์ด้านข้างของกระดูกคอในเพศหญิงอายุ 8 ปี	74
44	ตัวแทนภาพถ่ายรังสีเอกซ์ด้านข้างของกระดูกคอในเพศหญิงอายุ 9 ปี	74
45	ตัวแทนภาพถ่ายรังสีเอกซ์ด้านข้างของกระดูกคอในเพศหญิงอายุ 10 ปี	75
46	ตัวแทนภาพถ่ายรังสีเอกซ์ด้านข้างของกระดูกคอในเพศหญิงอายุ 11 ปี	75
47	ตัวแทนภาพถ่ายรังสีเอกซ์ด้านข้างของกระดูกคอในเพศหญิงอายุ 12 ปี	76
48	ตัวแทนภาพถ่ายรังสีเอกซ์ด้านข้างของกระดูกคอในเพศหญิงอายุ 13 ปี	76
49	ตัวแทนภาพถ่ายรังสีเอกซ์ด้านข้างของกระดูกคอในเพศหญิงอายุ 14 ปี	77
50	ตัวแทนภาพถ่ายรังสีเอกซ์ด้านข้างของกระดูกคอในเพศหญิงอายุ 15 ปี	77
51	ตัวแทนภาพถ่ายรังสีเอกซ์ด้านข้างของกระดูกคอในเพศหญิงอายุ 16 ปี	78